

14.3.1 Corrigé - Jonction P-N

1. Par définition $Q = \iiint_V \rho dV = 0$, avec les symétries proposées, on a $Se_1\rho_1 + Se_2\rho_2 = 0$ dont on déduit

$$\rho_2 = -\frac{e_1}{e_2}\rho_1 = -2 \times 10^{-6} \text{ Cm}^{-3}$$

2. On s'intéresse à chaque partie de la distribution prise séparément :

- La base de projection adaptée est la base cartésienne,
- Les plans passant par M et perpendiculaires à yOz sont des plans de symétrie Π^+ et $\vec{E} \in \Pi^+$, on en déduit $\vec{E} = E(M)\vec{u}_x$,
- Toute translation parallèle au plan yOz laisse la distribution de source invariante et $\vec{E} = E(x)\vec{u}_x$.

Puis, pour gagner du temps, on utilise la relation de MAXWELL-GAUSS qui dit que $\text{div } \vec{E} = \frac{\rho}{\epsilon_0} = \frac{dE}{dx}$. Dans la partie gauche, la relation devient $\frac{dE}{dx} = \frac{\rho_1}{\epsilon_0}$, soit $E(x) = \frac{\rho_1}{\epsilon_0}x + \text{cste}$. Or $\vec{E}(x = -e_1) = 0$ par continuité du champ et

$$\vec{E}(-e_1 < x < 0) = \frac{\rho_1}{\epsilon_0}(x + e_1)\vec{u}_x$$

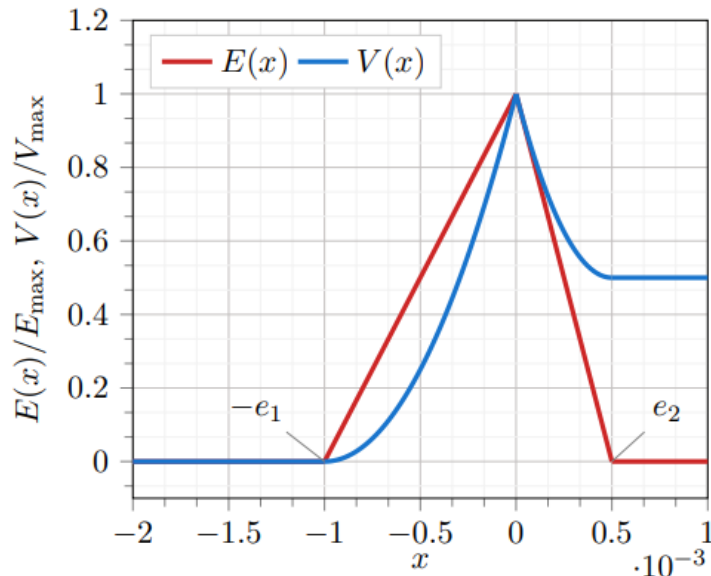
De même, dans la partie droite, la relation devient $\frac{dE}{dx} = \frac{\rho_2}{\epsilon_0}$, soit $E(x) = -\frac{e_1}{e_2}\frac{\rho_1}{\epsilon_0}x + \text{cste}$. Or $\vec{E}(x = e_2) = 0$ par continuité du champ et

$$\vec{E}(0 < x < e_2) = -\frac{e_1}{e_2}\frac{\rho_1}{\epsilon_0}(x - e_2)\vec{u}_x$$

3. La relation $\vec{E} = -\overrightarrow{\text{grad}} V = -\frac{dV}{dx}\vec{u}_x$ permet de déduire le champ potentiel. On a donc $V(-e_1 < x < 0) = \frac{\rho_1}{2\epsilon_0}(x + e_1)^2 + \text{cste}_1$ et de même $V(0 < x < e_2) = -\frac{e_1}{e_2}\frac{\rho_1}{2\epsilon_0}(x - e_2)^2 + \text{cste}_2$. Le potentiel est choisi nul en $x = -e_1$ et $\text{cste}_1 = 0$. L'unicité des potentiels en $x = 0$, permet alors d'écrire $\frac{\rho_1}{2\epsilon_0}(e_1)^2 = -\frac{e_1}{e_2}\frac{\rho_1}{2\epsilon_0}(e_2)^2 + \text{cste}_2$, soit $\text{cste}_2 = \frac{\rho_1}{2\epsilon_0}(e_1 - e_2)e_1$. On en déduit

$$\begin{cases} V(-e_1 < x < 0) = \frac{\rho_1}{2\epsilon_0}(x + e_1)^2 \\ V(0 < x < e_2) = -\frac{e_1}{e_2}\frac{\rho_1}{2\epsilon_0}(x - e_2)^2 + \frac{\rho_1}{2\epsilon_0}(e_1 - e_2)e_1 \end{cases}$$

Le tracé des fonctions est donné ci-dessous :



La méthode utilisée est similaire à celle utilisée pour le [dipôle électrostatique](#).

On pose $x = a/r$ et on utilise le développement limité de :

$$(1 + x)^{-1/2} \approx 1 - \frac{1}{2}x + \frac{3}{8}x^2$$

Le potentiel créé en un point M est :

$$V(M) = \frac{q}{4\pi\epsilon_0} \left(\frac{2}{r} - \frac{1}{AM} - \frac{1}{BM} \right)$$

Avec :

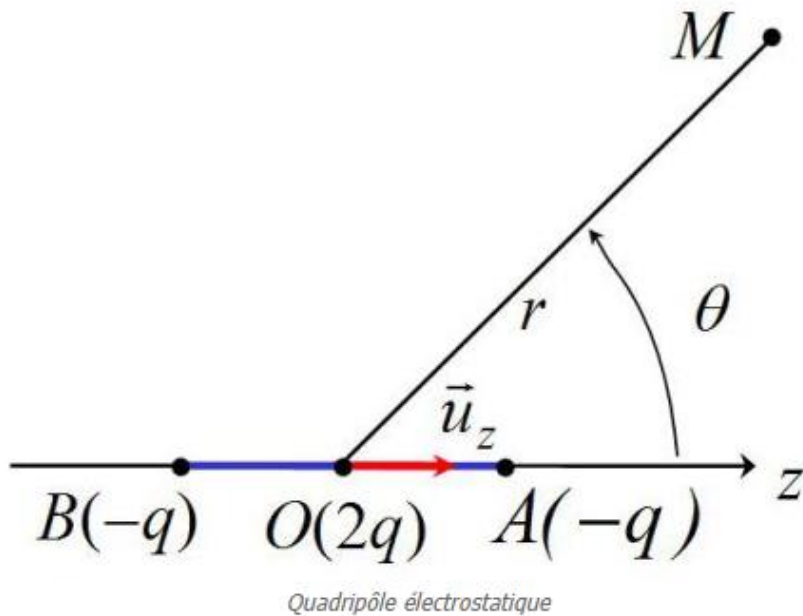
$$\frac{1}{AM} = \frac{1}{r} \left(1 - \frac{a}{r} \cos \theta + \frac{a^2}{r^2} \right)^{-1/2}$$

Et :

$$\frac{1}{BM} = \frac{1}{r} \left(1 + \frac{a}{r} \cos \theta + \frac{a^2}{r^2} \right)^{-1/2}$$

Un développement au 2nd ordre en a/r conduit à :

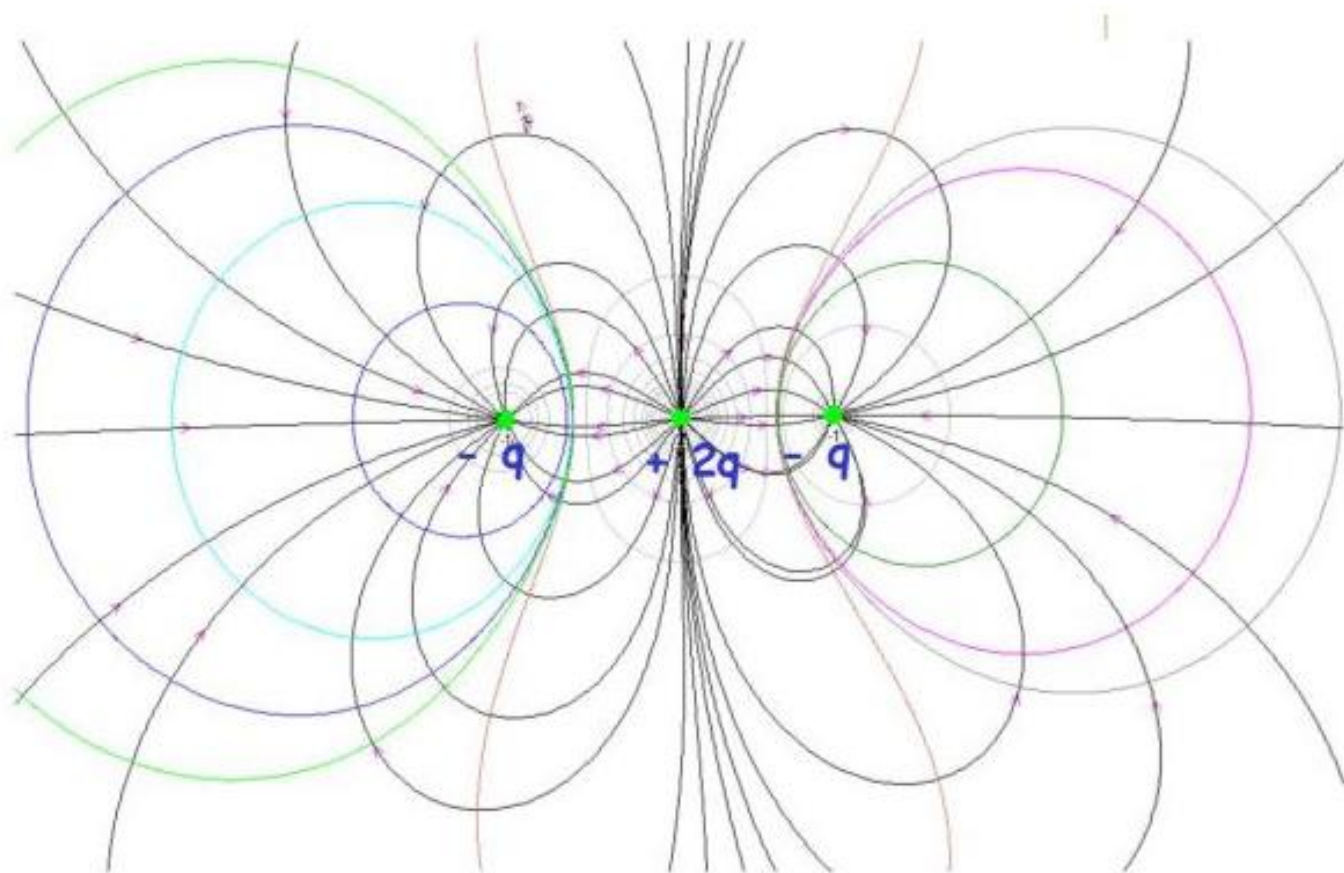
$$V(M) = \frac{q}{4\pi\epsilon_0} \frac{a^2}{r^3} (1 - 3\cos^2 \theta)$$



Le champ électrostatique se calcule à partir de :

$$\begin{cases} E_r(r, \theta) = -\frac{\partial V}{\partial r} \\ E_\theta(r, \theta) = -\frac{1}{r} \frac{\partial V}{\partial \theta} \end{cases}$$

La figure suivante donne la topographie du champ (lignes de champs et lignes équipotentiellles) :



Topographie du champ d'un quadripôle